

01;04
©1995

ЧИСЛЕННОЕ МОДЕЛИРОВАНИЕ НАЧАЛЬНОЙ СТАДИИ ФОРМИРОВАНИЯ ПЛАЗМЕННОЙ КОНФИГУРАЦИИ “ПОЯС”

К.В.Брушлинский, К.П.Горшенин, А.И.Морозов

Идея тороидальной магнитной ловушки-галатеи “Пояс” с двумя однонаправленными токами в параллельных кольцевых проводниках-миксинах и азимутальным током в плазме (рис. 1) предложена в работе [1]*. Соответствующая магнитоплазменная конфигурация содержит токовый слой [4,5] в его квазистационарной стадии [6]. Стационарные двумерные базовые конфигурации прямого аналога “Пояса” построены в терминах решений плоского уравнения Грэда-Шафранова с простейшими — линейной и квадратичной — магнитобарическими характеристиками $p(\psi)$ [1].

Хотя современная техника в принципе позволяет (с помощью ЭПР и инжекторов нейтралов) реализовать конфигурации с любой зависимостью $p(\psi)$, особый интерес, благодаря своей простоте, представляет экспериментальное формирование “Пояса” с помощью разряда. На первом этапе разряд целесообразно исследовать в прямом аналоге ловушки — диэлектрической трубе с двумя прямыми миксинами внутри и электродами на торцах. Сценарий эксперимента предполагается следующим. Труба заполняется газом, он как-то ионизируется, а затем на электроды подается напряжение и в процессе сильноточного (т. е. с существенным собственным магнитным полем) разряда формируется токовый слой и конфигурация “Пояса”.

Цель настоящей работы — воспроизвести в расчетах ожидаемую эволюцию разряда и определить формируемую при этом магнитобарическую характеристику $p(\Psi)$. Рассмотрена двумерная МГД-модель прямого варианта ловушки “Пояс” в квадратной (для простоты) области

$$|x| \leq 2, \quad |y| \leq 2 \quad (1)$$

с двумя миксинами конечного сечения

$$(x \pm 1)^2 + y^2 \leq r_c^2. \quad (2)$$

* Следуя [2,3], мы называем “галатеями” ловушки с омываемыми плазмой токонесущими проводниками, а “миксинами” — эти проводники.

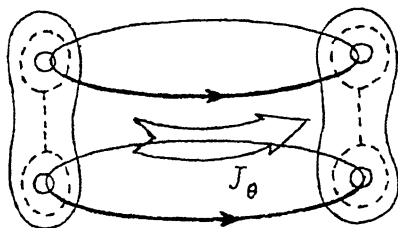


Рис. 1. Схема ловушки-галатеи "Пояс".

Простейшей моделью миксин являются "прозрачные" для плазмы области (2) с заданным в них сторонним током $j_z^{ex}(x, y)$. Кроме того, препятствие, которым является твердотельная миксина для движения плазмы, частично моделируется "силой трения" $f = -\kappa v$. С учетом этих особенностей модель эволюции агниоплазменной конфигурации использует во всем квадрате (1) МГД-уравнения

$$\begin{aligned}
 \partial \rho / \partial t + \operatorname{div} \rho v &= 0, \\
 \rho dv / dt + \nabla p &= [j, H] - \kappa v, \\
 \rho d\varepsilon / dt + p \operatorname{div} v &= \nu j^2, \\
 \partial H / \partial t &= \operatorname{rot}[v, H] - \operatorname{rot} \nu j, \\
 p = (\gamma - 1) \rho \varepsilon &= \beta_0 \rho T / 2, \quad j + j^{ex} = \operatorname{rot} H.
 \end{aligned}
 \tag{3}$$

Здесь j — ток в плазме. Внешний ток j^{ex} и коэффициент "трения" κ отличны от нуля только в пространстве проводников (2). Уравнения (3) написаны в безразмерной форме: единицами длины, плотности, температуры и магнитного поля являются расстояние x_0 от начала координат до центра миксины, начальные (однородные) значения ρ_0 и T_0 , характерное поле $H_0 = 2J(cx_0)$, где J — заданный ток в каждой миксине, а остальные единицы — их естественные комбинации. Уравнения содержат безразмерные параметр $\beta_0 = 8\pi\rho_0/H_0^2$ и магнитную вязкость, зависящую от температуры по Спитцеру:

$$\nu = 1/Re_m = c^2/(4\pi\sigma x_0 v_0) = \nu_0 T^{-3/2}.$$

Задача об эволюции ставится в терминах уравнений (3) в области (1) при начальных условиях покоя плазмы в магнитном поле сторонних токов j^{ex} . Из этого состояния плазму выводит электрическое поле E_z , созданное электродами на торцах трубы. Оно задано на границе квадрата (1) в

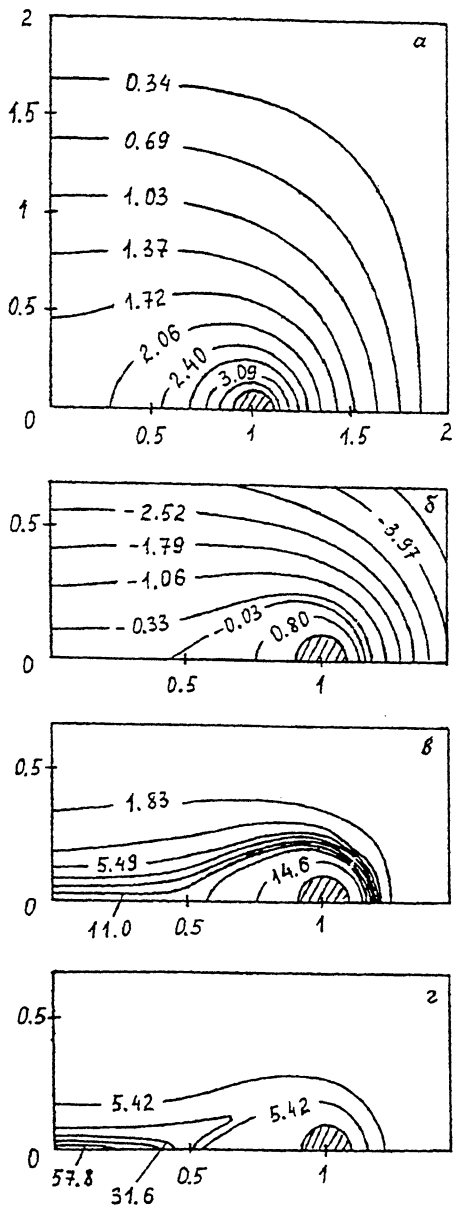


Рис. 2. Магнитное поле ($\psi = \text{const}$) при $t = 0$ (а); линии уровня ψ , p и j_z при $t = 7$ (б-г).

качестве граничного условия наряду с условием непротекания $v_n = 0$. В процессе решения задачи вместо \mathbf{H} вводится функция магнитного потока ψ : $H_x = \partial\psi/\partial y$, $H_y = \partial\psi/\partial x$, а уравнения (1) численно интегрируются с помощью явной консервативной разностной схемы.

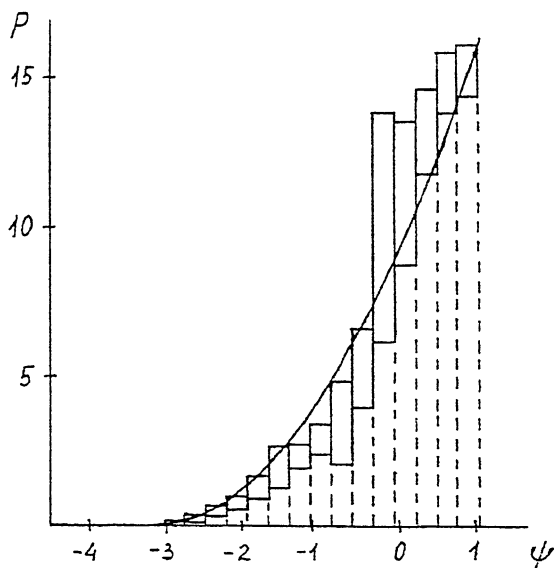


Рис. 3. Гистограмма $p(\Psi)$ и аппроксимирующая ее парабола.

Основной результат расчетов состоит в том, что в них действительно реализуется предполагаемая схема формирования "Пояса". При значениях $\beta_0 = 0.5$, $\nu_0 = 0.1$, $r_c = 0.1$ за (безразмерное) время $t \approx 5$ устанавливается квазистационарная стадия решения. Она представлена на рис. 2, б-г при $x > 0$, $y > 0$ (поскольку задача симметрична относительно осей координат). Подробное рассмотрение результатов позволяет увидеть малую область вблизи границы миксин (2), в которой плазменный ток имеет обратное направление: $j_z < 0$. По результатам расчетов построена гистограмма значений $p(\psi)$ с указанием пределов изменения давления на линиях $\psi = \text{const}$ (рис. 3). В эти же пределы вписывается график параболы $p = 0.9(\psi + 3.2)^2$, которая разумно аппроксимирует зависимость $p(\psi)$. Отметим, что результаты расчета конфигурации вне сепаратрисы магнитного поля и непосредственно вблизи нее реально не зависят от изменения размеров миксин вдвое ($r_c = 0.2$).

Авторы благодарны А.Г. Франк за конструктивное обсуждение полученных результатов.

Работа выполнена при поддержке Российского фонда фундаментальных исследований (грант № 95-02-06054).

Список литературы

- [1] Морозов А.И., Франк А.Г. // Физ. плазмы. 1994. Т. 20. № 11. С. 982.
- [2] Морозов А.И. // Письма в ЖТФ. 1990. Т. 16. В. 15. С. 86.
- [3] Морозов А.И. // Физ. плазмы. 1992. Т. 18. С. 305.
- [4] Сыроватский С.И., Франк А.Г., Ходжаев А.З. // Письма в ЖЭТФ. 1972. Т. 15. С. 138.
- [5] Франк А.Г. // Тр. ФИАН. 1985. Т. 160. С. 93.
- [6] Брушлинский К.В., Заборов А.М., Сыроватский С.И. // Физ. плазмы. 1980. Т. 6. В. 2. С. 297.

Поступило в Редакцию
14 сентября 1995 г.
